

СПЕКТР ВЫНУЖДЕННОГО РАМАНОВСКОГО РАССЕЯНИЯ В
НЕОДНОРОДНОЙ ПЛАЗМЕ

Л. М. Горбунов, Р. Р. Рамазашвили

УДК 533.951

Найден частотный спектр вынужденного рамановского рассеяния в неоднородной стационарной лазерной плазме.

Процессы вынужденного рассеяния света привлекают в последнее время значительное внимание в основном в связи с исследованиями по проблеме УЛТС (см., например, /1,2/). Влияние вынужденного рамановского рассеяния (ВРР) (распад $t \rightarrow t' + 1$) на проникновение в плазму интенсивной электромагнитной волны изучено в работах /3,4/. С помощью полученных в этих работах выражений, определяющих изменение интенсивности волны с координатой, мы здесь рассмотрим спектральный состав рассеянного излучения.

Поскольку ВРР происходит только в разреженной плазме, где плотность электронов меньше четверти критической плотности, частоты возникающих ленгмировских волн намного меньше, чем частоты рассеянных поперечных волн. Поэтому основная доля энергии падающей волны, теряемая из-за ВРР, выходит из плазмы в виде рассеянного излучения, и лишь малая часть остается в плазме в виде ленгмировских волн. Пренебрегая этой частью, легко связать полное изменение интенсивности проходящей через плазму волны I_0 с частотным спектром интенсивности рассеянного излучения $I(\omega)$

$$- \int dx \frac{dI_0}{dx} = \int I(\omega) d\omega, \quad (1)$$

где ω — частота рассеянной волны, определяемая через частоту ленгмировской волны $\omega_p(x)$, на которой произошло рассеяние, и частоту падающей волны ω_0 соотношением $\omega = \omega_q - \omega_p(x)$. Рассеян-

ной волне с данной частотой соответствует определенная координата на профиле плотности плазмы. Поэтому, заменив в формуле (1) dx на $d\omega_p / (d\omega_p / dx)$, получим:

$$I(\omega) = - \frac{dI_0^{(0)} / dx}{d\omega_p / dx}. \quad (2)$$

В работах /3, 4/ исследованы решения уравнений для $I_0(x)$ и показано, что с хорошей точностью изменение интенсивности волны описывается приближенным выражением

$$I_0(x) = \begin{cases} I_0^{(0)}, & x < x_1 \\ I_0^{(0)} L(x_1) / L(x), & x > x_1, \end{cases} \quad (3)$$

где $I_0^{(0)}$ — интенсивность падающей волны вне плазмы, $L(x) = \omega_p^2(x) / (d\omega_p^2 / dx)$ — величина, характеризующая изменение концентрации плазмы $N(x)$; точка x_1 зависит от $I_0^{(0)}$ и конкретного вида функции $N(x)$.

С помощью формулы (3) соотношение (2) преобразуется к виду:

$$I(\omega) = I(\Delta\omega) = \begin{cases} 0, & \Delta\omega < \omega_p(x_1) \\ 2I_0^{(0)} \frac{L(x_1)(dL/dx)}{\Delta\omega L}, & \Delta\omega > \omega_p(x_1), \end{cases} \quad (4)$$

где $\Delta\omega = \omega_0 - \omega$.

2. Рассмотрим наиболее простой вариант изменения концентрации с координатой $N(x) = \alpha x$. В этом случае $L(x) = x$, согласно /3/,

$$x_1 \approx \frac{3T\omega_0}{2\pi^2 r_0 I_0^{(0)}} \ln \frac{c}{r_0 \omega_0}, \quad (5)$$

где T — температура электронов плазмы, $r_0 = e^2 / mc^2$. Находя с помощью формулы (5) величины, входящие в выражение (4), получим:

$$I(\Delta\omega) = \begin{cases} 0 & , \Delta\omega < \Delta\omega_1 \\ \frac{12ac^2T\omega_0}{\pi(\Delta\omega)^3} \ln \frac{c}{r_0\omega_0}, & \Delta\omega > \Delta\omega_1 \end{cases} \quad , \quad \Delta\omega < \Delta\omega_1 = \left[\frac{6ac^2T\omega_0}{\pi I_0^{(0)}} \ln \frac{c}{r_0\omega_0} \right]^{1/2} \quad (6)$$

Из этого соотношения следует, что при неизменной интенсивности падающего на плазму излучения частотный спектр существенно зависит от величины α , характеризующей скорость нарастания концентрации в пространстве. Граница спектра $\Delta\omega_1$, близи которой спектральная плотность максимальна ($I_{\max}(\Delta\omega) = I_0^{(0)} / \Delta\omega_1$), увеличивается с ростом величины α ($\Delta\omega_1 \sim \sqrt{\alpha}$). При этом большим значениям α (большим градиентам плотности) соответствует более протяженный по частоте спектр с большей полушириной линии $\Delta\omega = \sqrt[3]{2}\Delta\omega_1 \sim \sqrt{\alpha}$ (см. рис. 1).

Если при неизменном профиле плотности изменяется интенсивность падающей волны, то по мере роста интенсивности верхняя граница спектра приближается к ω_0 ($\Delta\omega_1 \sim (I_0^{(0)})^{-1/2}$), а максимум спектральной плотности возрастает ($I_{\max}(\Delta\omega) \sim (I_0^{(0)})^{3/2}$) (см. рис. 2).

3. Для экспоненциальной зависимости концентрации от координаты x $N(x) = N_0(e^{x/x_c} - 1)$ (N_0 , x_c – параметры) в работе /4/ получено

$$x_1 = -x_c \ln \left\{ 1 + \frac{1}{y_0 \xi_c} \ln \left(\frac{\omega_0 r_0}{c} \right) \right\}, \quad (7)$$

где $y_0 = I_0^{(0)} 2\pi^2 c r_0 / 3 T \omega_0$, $\xi_c = (\omega_0/c)x_c$. Используя формулу (7) и выражение $I(x) = x_c [1 - \exp(-x/x_c)]$, получим из формулы (4) для спектральной плотности опять соотношение (6), в котором однако $\alpha = N_0/x_c$ и величина $\Delta\omega_1$ определяется формулой

$$\Delta\omega_1 = \left[\frac{6c^2 N_0 T \omega_0}{\pi x_c I_0^{(0)}} \frac{\ln(c/r_0 \omega_0)}{1 - \frac{1}{y_0 \xi_c} \ln(c/r_0 \omega_0)} \right]^{1/2}. \quad (8)$$

При $y_0 \xi_c \gg \ln(c/r_0 \omega_0)$ выражение (8) совпадает с приведенным в формуле (6). При $y_0 \xi_c \gtrsim \ln(c/r_0 \omega_0)$ определяемая формулой (8)

величина $\Delta\omega_1$ превосходит соответствующую величину формулы (6) при тех же параметрах плазмы и падающей волны. Спектральная интенсивность рассеянного излучения при этом имеет тот же вид, что и в линейном случае (рис. I,2), но максимум интенсивности смещен относительно ω_0 сильнее.

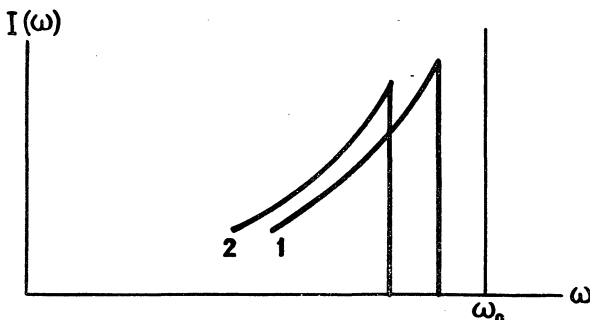


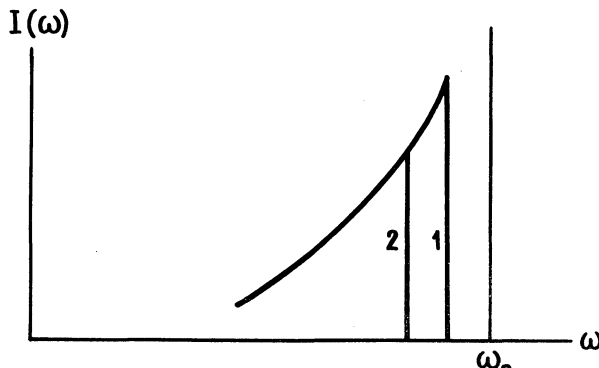
Рис. I. Изменение спектра рассеянного излучения с увеличением градиента плотности: 1 - малый градиент, 2 - большой градиент

4. Как показано в работах /3,4/, рассеяние становится существенным, когда интенсивность падающей волны достаточно велика. При характерных для многих экспериментов с лазерной плазмой значениях параметров ($T \approx 1$ кэВ, $\omega_0 = 1,8 \cdot 10^{15}$ с⁻¹) эта интенсивность превышает $5 \cdot 10^{14}$ Вт/см². Для линейного профиля плотности при $\alpha = 10^{22}$ см⁻⁴ и $I_0^{(0)} = 10^{15}$ Вт/см² из формулы (6) получим $\Delta\omega_1 = 6 \cdot 10^{13}$ с⁻¹ (или $\Delta\lambda = \lambda_0 \frac{\Delta\omega_1}{\omega_0} = 300$ Å). Ширина линии рассеянного излучения порядка смещения $\Delta\omega_1$.

В реальных условиях ВРР происходит одновременно с процессом ВРМБ, при котором смещения рассеянных волн по частоте значительно меньше, чем при ВРР и лежат в области $\Delta\omega < \Delta\omega_1$.

По мере разлета плазмы градиент плотности уменьшается (уменьшаются параметры α или N_0/x_c). Это должно приводить к тому, что спектр рассеянного излучения будет со временем сужаться, а максимум интенсивности приближаться к частоте ω_0 (рис. I). Физическая причина этого явления состоит в том, что при малых

градиентах основное рассеяние происходит в разреженной плазме и связано с относительно малым изменением плотности. Очевидно, что это малое изменение плотности приводит к меньшему смещению частот и сужению линии рассеянного излучения.



Р и с. 2. Изменение спектра рассеянного излучения с увеличением интенсивности падающего излучения: I - большие интенсивности, 2 - меньшие интенсивности

Заметим, что в рассмотренном нами случае линейно поляризованной волны рассеяние происходит в основном поперек плоскости поляризации.

Пользуемся случаем поблагодарить В. Ф. Дятлова, привлекшего наше внимание к рассмотренному вопросу, и В. П. Силина за интерес и полезные замечания.

Поступила в редакцию
20 июня 1977 г.

Л и т е р а т у р а

1. D. W. Forslund, I. M. Kindel, E. L. Lindman, Phys. of Fluids, 18, 1002 (1975).
2. О. Н. Крохин, Г. В. Скликов, А. С. Шиканов, Труды ФИАН, 85, 143 (1976).
3. Л. М. Горбунов, В. И. Домрин, Р. Р. Рамазашвили, ЖЭТФ, 70, 2161 (1976).
4. Л. М. Горбунов, В. И. Домрин, Р. Р. Рамазашвили, Письма в ЖТФ, 2, 690 (1976).